## СПИСОК ЛИТЕРАТУРЫ

- 1. Костецкий Б.И. Структурно-энергетическая приспосабливаемость материалов при трении // Трение и износ. 1985. Т. 6. № 2. С. 201–212.
- 2. Буяновский И.А. и др. Влияние покрытий-ориентантов на энергию активации разрушения граничного слоя // Трение и износ. 2007. Т. 28. № 1. С. 15—20.
- Лашхи В.Л. и др. Исследование эффективности действия антифрикционных присадок к моторным маслам // Трение и износ.
   — 1982. Т. 3. № 6. С. 988—993.
- Устройство для испытания трущихся материалов и масел: а.с. 983522 СССР; опубл. 1982. Бюл. № 47.
- Способ определения смазывающей способности масел: а.с. 1054732 СССР; опубл. 1983, Бюл. № 42.

Поступила 14.12.2009 г.

УДК 577.3.01;577.38

# ФОРМИРОВАНИЕ ДИССИПАТИВНОЙ СТРУКТУРЫ В ДВУМЕРНОЙ ПОПУЛЯЦИОННОЙ ДИНАМИКЕ С НЕЛОКАЛЬНЫМ ВЗАИМОДЕЙСТВИЕМ

А.В. Борисов\*, А.Ю. Трифонов, А.В. Шаповалов\*

Томский политехнический университет \*Томский государственный университет E-mail: trifonov@tpu.ru

Численными методами исследовано влияние нелокального взаимодействия на динамику популяции в двумерной реакционнодиффузионной модели. Динамическое уравнение модели обобщает известное уравнение Фишера—Колмогорова—Петровского—Пискунова и учитывает нелокальное взаимодействие особей в популяции различных типов, включая таксис. При определенном выборе параметров модели получена двумерная диссипативная структура, образованная так называемыми таксисными кольцами. Обсуждаются свойства полученной структуры.

#### Ключевые слова:

Популяционная динамика, численные методы, модель Фишера, популяционные структуры.

## Key words.

Population dynamics, population waves, Fisher-Kolmogorov-Petrovsky-Piskunov model.

## Введение

В работе численными методами исследуется двумерная модель динамики роста популяции микроорганизмов с нелокальным взаимодействием.

Моделирование двумерной динамики представляет особый интерес, что связано с условиями экспериментальных исследований роста бактериальных или клеточных популяций. Обычно такие исследования проводятся в чашке Петри, плоское круговое дно которой заполняется тонким слоем питательной среды, а небольшое количество культуры вносится (инокулируется) в центр, равноудаленный от границы чашки. Результаты многочисленных экспериментальных и теоретических исследований показали [1-5], что популяции микроорганизмов представляют собой организованное сообщество (колонию), более устойчивое к влиянию неблагоприятных воздействий, чем простая совокупность особей. Непосредственно наблюдаемым проявлением колониального поведения популяции микроорганизмов является формирование неоднородных пространственных структур (морфогенез) в процессе роста популяции.

Одной из фундаментальных проблем математического моделирования популяционной динамики является описание морфогенеза колоний микроор-

ганизмов. Для решения этой проблемы пробуются различные подходы и типы моделей (непрерывные и дискретные, локальные и нелокальные, детерминистические и стохастические и др.), так как поведение колоний микроорганизмов является многофакторным.

В данной работе исследуется влияние нелокального нелинейного взаимодействия в популяции на процесс формирования двумерной пространственно неоднородной структуры в рамках реакционнодиффузионной модели, обобщающей известную модель Фишера—Колмогорова—Петровского—Пискунова (ФКПП) [6, 7]. Нелокальное обобщение уравнения ФКПП рассматривалось в [8—10]. Динамическое уравнение модели в двумерном случае записывается в виде:

$$\frac{\partial u(x,y,t)}{\partial t} = D \left( \frac{\partial^2 u(x,y,t)}{\partial x^2} + \frac{\partial^2 u(x,y,t)}{\partial y^2} \right) + a(x,y,t)u(x,y,t) - -\kappa u(x,y,t) \int_{-\infty}^{\infty} b(x,y,x_1,y_1,t)u(x_1,y_1,t)dx_1dy_1. \quad (1)$$

Здесь u(x,y,t) — кинетическая переменная (массовая плотность популяции или число организмов

данного вида, приходящаяся на единицу площади) - зависит от времени t и пространственных координат х, у. В данной модели учитываются: процесс диффузии с постоянным коэффициентом диффузии D; процесс производства бактерий с темпом роста (мальтузианским параметром) a(x,y,t) и квадратичными по плотности потерями с функцией влияния  $b(x,y,x_1,y_1,t)$ , моделирующей конкуренцию за ресурс; процессы метаболизма и лизиса; таксис микроорганизмов;  $\kappa$  — параметр нелинейности. Зависимость коэффициентов a(x,y,t) и  $b(x,y,x_1,y_1,t)$  от пространственных координат  $(x, y, x_1, y_1)$  и времени tпозволяет учитывать пространственную неоднородность и нестационарность условий протекания популяционных процессов, обусловленных внешними факторами. Будем также считать величины, входящие в уравнение (1), безразмерными.

Для одномерного случая уравнение (1) с гауссовой функцией влияния  $b(x,y,t)=\exp(-(x-y)^2/\sigma^2)$  изучалась в [10]. Численное моделирование одномерной динамики показало, что локализованное начальное распределение распространяется вдоль оси x в обе стороны от центра локализации с образованием серии локальных максимумов, что можно рассматривать как процесс формирования популяционной структуры в одномерном случае [8, 10].

В двумерном случае при определенном выборе параметров модели (коэффициентов уравнения, начальных и граничных условий) данная модель описывает формирование пространственно неоднородной диссипативной популяционной структуры. В формирование структуры существенный вклад вносит нелокальная часть уравнения (1), которую можно рассматривать как математическое описание коллективного поведения большого числа особей в популяции и эффектов самоорганизации в колонии бактерий.

## Численное решение уравнения модели

В работе [10] для численного решения уравнения (1) в одномерном случае применялись явная и неявная численные схемы, а также метод конечных элементов. Для численного решения уравнения (1) в данной работе использовался метод конечных элементов [11].

Начальные условия u(x,y,0) выбирались в форме функций, локализованных в малой окрестности начала координат (x=0, y=0). Решения строились на таком временном интервале  $(0,T_0)$ , когда за расчетное время  $T_0$  ненулевые значения искомой функции u(x,y,t), распространяясь от начала по всем направлениям, не достигали границ области изменения пространственных переменных x, y:  $-L_x < x < L_x, -L_y < y < L_y$ . Эти условия соответствуют убыванию решения на бесконечности. Начальную функцию u(x,y,0) выберем в форме гауссова распределения с дисперсией  $\sigma_0$  и амплитудой  $f_0$ :

$$u(x, y, 0) = u_0(x, y) = f_0 \exp(-(x^2 + y^2) / \sigma_0^2).$$
 (2)

Здесь параметры  $f_0$  и  $\sigma_0$  характеризуют максимум численности популяции и степень локализации. Дисперсию  $\sigma_0$  следует выбирать достаточно малой, чтобы начальное распределение можно было считать локальной инокуляцией.

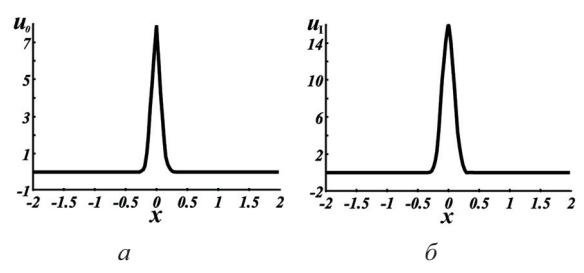
Функцию конкурентных потерь b(x,y,t) выберем в виде

$$b(x, y, x_1, y_1, t) = \begin{cases} b_0, & \sqrt{(x - x_1)^2 + (y - y_1)^2} \le \sigma, \\ 0, & \sqrt{(x - x_1)^2 + (y - y_1)^2} > \sigma. \end{cases} (3)$$

Здесь  $b_0$  — параметр, характеризующий степень влияния нелокального взаимодействия на динамику популяции, а  $\sigma$  — характерный размер области нелокального взаимодействия.

Эти параметры при выборе ядра интегрального оператора в виде (3) отвечают за образование специфических кольцеобразных структур в колонии бактерий.

На рис. 1—3 приведены результаты численного решения уравнения (1) с начальным условием (2) и функцией влияния (3). Параметры уравнения выбраны в виде: D=0,001, a=2,  $\kappa$ =2, f<sub>0</sub>=8,  $\sigma$ <sub>0</sub>=0,1, b<sub>0</sub>=2,  $\sigma$ =0,6.



**Рис. 1.** Сечение начального (t=0) распределения (2) с параметрами  $f_0$ =8,  $\sigma_0$ =0,1, что соответствует инокуляции в начале координат (x=0, y=0) (a); сечение функции  $u_l$  в момент времени t≈1,5 при  $f_0$ =8,  $\sigma_0$ =0,1 (6)

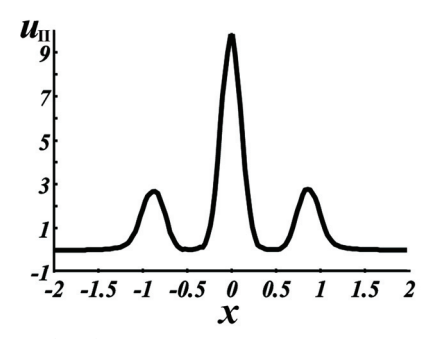
На указанных рисунках начальное возмущение не достигает пространственных границ расчетной области, что соответствует асимптотическим нулевым граничным условиям  $u(x,y,t)_{x\to\pm\infty}=0$ ,  $u(x,y,t)_{y\to\pm\infty}=0$ . В процессе формирования диссипативной популяционной структуры можно выделить следующие стадии.

На первой стадии начальное распределение  $u_0$  вида (2) (сечение которого плоскостью, проходящей через оси u и x, показано на рис. 1, a) преобразуется в аксиально симметричное распределение  $u_1$  с максимумом в начале координат x=0, y=0, сечение которого показано на рис. 1,  $\delta$ .

Проведенные расчеты показали, что функции  $u=u_1$  при различных значениях параметров  $f_0$ ,  $\sigma_0$  на первой стадии незначительно отличаются друг от друга. На рис. 1,  $\delta$ , показано сечение распределения при  $f_0=8$ ,  $\sigma_0=0,1$ ; аналогичный вид имеет распределение с параметрами  $f_0=4$ ,  $\sigma_0=0,05$ .

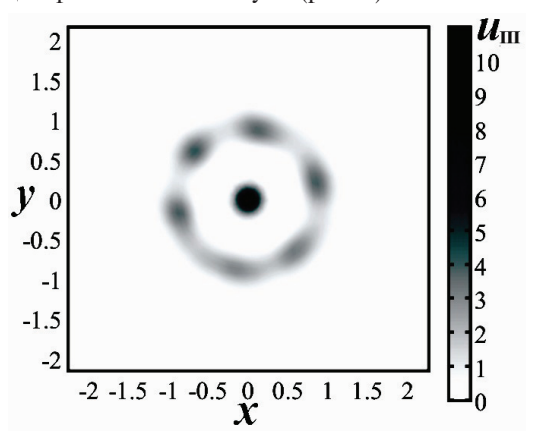
Отметим также, что сечения распределений, рис. 1, при соответствующем выборе параметров мало отличаются от одномерных распределений, рассмотренных в [10].

На второй стадии вокруг центрального максимума распределения образуется аксиально симметричное кольцевое распределение плотности  $u=u_{II}$ , (таксисное кольцо [12]), локализованное в окрестности некоторой окружности (рис. 2), радиус которой зависит от функции влияния b, а также от параметров D и a.



**Рис. 2.** Сечение функции  $u_{\parallel}$  в момент времени t=11

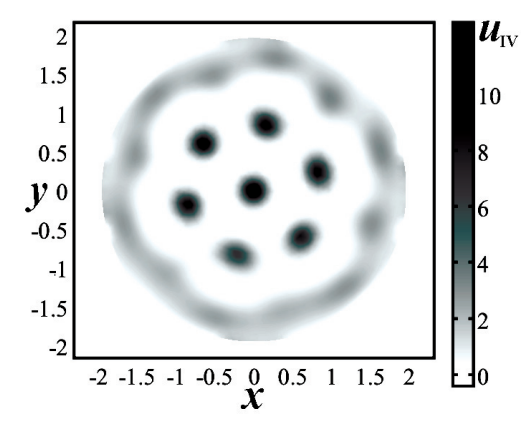
На третьей стадии аксиально симметричное распределение первого таксисного кольца трансформируется в неоднородное вдоль кольца распределение с периодически расположенными локальными максимумами. Со временем радиус кольца и положение локальных максимумов на кольце остаются практически неизменными. На рис. 3 показано распределение с шестью локальными максимумами. Эти локальные максимумы со временем растут по величине и достигают значения, равного значению центрального максимума (рис. 4).



**Рис. 3.** Пространственное распределение функции  $u_{\text{III}}$  в момент времени t=12

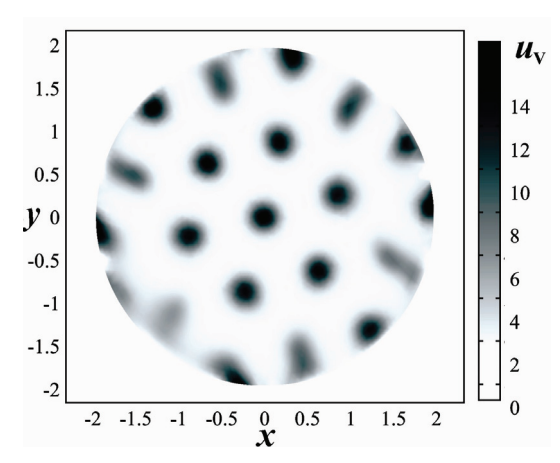
На следующей, четвертой, стадии образуется второе кольцо локализации плотности *и*, распределение на котором формируется по тому же сценарию, как и на первом кольце. Образование второго кольца распределения иллюстрирует рис. 4, на котором расположены 12 локальных максимумов. Подчеркнем, что второе кольцо, изображенное на рис. 4, не сформировалось окончательно. Кроме то-

го, предварительные расчеты показали, что со временем начинает формироваться следующее кольцо.



**Рис. 4.** Пространственное распределение функции  $u_{\mathbb{N}}$  в момент времени t=19

Описанный выше процесс продолжается до тех пор, пока формирующаяся колония микроорганизмов не достигнет границы занимаемой ей области. Взаимодействие с границей вносит изменения в распределение популяции. На рис. 5 показан вид пространственного распределения популяции, инокулированной в центр круговой области (моделирующей дно цилиндрической чашки Петри) и достигшей границы области, заполненной питательным веществом. Расчет проведен для периодического по радиусу граничного условия. С увеличением времени функция u(x,y,t) переходит в стационарное состояние  $u(x,y,t)_{l\to\infty} \rightarrow u_g(x,y)$ , рис. 5.



**Рис. 5.** Пространственное распределение функции и с учетом влияния границы в момент времени t=30

Число формирующихся на границе локальных максимумов (на рис. 5 их число равно 14) отличается от числа максимумов соответствующего таксисного кольца, удаленного от границы (на рис. 4 их число равно 12). Как показывают расчеты, число локальных максимумов на границе зависит от параметров уравнения, а также от соотношения между радиусом границы области (радиус дна чашки Петри) и радиусом таксисного кольца, достигающего границы.

## Заключение

В работе построены численные решения уравнения (1), соответствующие нулевым граничным условиям на бесконечности. Анализ численных решений, полученных для начального распределения (2) с различными параметрами  $f_0$  и  $\sigma_0$  с функцией конкурентных потерь вида (3), показал, что в процессе эволюции проходит 4 характерные стадии, примеры которых приведены на рис. 1-4. Проведенные расчеты показали, что первая стадия динамики, на которой формируется аксиально симметричное кольцевое распределение  $u_1$ , слабо зависит от значения максимума и формы аксиально симметричного, но достаточно узкого начального распределения  $u_0$ . Эта стадия подобна первой стадии, полученной для одномерного случая [10]. В последующих стадиях характерным является последовательное возникновение таксисных колец с постоянными радиусами вокруг начальной инокуляции и формированием на этих кольцах периодически расположенных стационарных пиков. Аналогичные результаты получены в [13] при описании динамики колоний бактерий в рамках другой математической модели.

## СПИСОК ЛИТЕРАТУРЫ

- Murray J.D. Mathematical Biology. I. An Introduction (Third Edition) N.Y., Berlin, Heidelberg: Springer Verlag, 2001. 551 p.
- Matsushita M., Fujikawa H. Diffusion-limited growth in bacterial colony formation // Physica A. – 1990. – V. 168. – P. 498–506.
- Matsushita M., Hiramatsu F., Kobayashi N., Ozawa T., Yamazaki Y., Matsuyama T. Colony formation in bacteria: experiments and modeling // Biofilms. – 2004. – V. 1. – P. 305–317.
- Budrene E.O., Berg H.C. Complex patterns formed by motile cells of E. coli // Nature. – 1991. – V. 349. – P. 630–633.
- Ben Jacob E., Garik P. The formation of patterns in non-equilibrium growth // Nature. 1990. V. 343. P. 523–530.
- Fisher R.A. The wave of advance of advantageous genes // Annual Eugenics. – 1937. – V. 7. – P. 255–369.
- Колмогоров А.Н., Петровский Н.Г., Пискунов Н.С. Исследование уравнения диффузии, соединенной с возрастанием вещества, и его применение к одной биологической проблеме // Бюллетень МГУ. Сер. А. Математика и Механика. 1937. Т. 1. № 6. С. 1—16.
- Fuentes M.A., Kuperman M.N., Kenkre V.M. Nonlocal interaction effects on pattern formation in population dynamics // Phys. Rev. Lett. – 2003. – V. 91. – P. 158104-1–158104-4.

#### Выводы

- 1. Двумерная реакционно-диффузионная модель популяционной динамики с квадратично-нелинейным нелокальным взаимодействием, обобщающая модель Фишера-Колмогорова-Петровского-Пискунова, применена для анализа роста колонии бактерий и формирования диссипативной структуры.
- 2. Для описания нелокального взаимодействия использовалось ядро, представляющее собой упрощение гауссовой функции, применявшейся ранее в одномерных нелокальных моделях.
- 3. Численными методами исследовано влияние нелокальных эффектов на динамику популяции микроорганизмов на плоскости.
- Показано, что уравнение модели при выбранных в работе параметрах описывает сценарий формирования диссипативной популяционной структуры в виде последовательного возникновения и роста стационарных таксисных колец.

Работа выполнена при частичной финансовой поддержке АВЦП ФАО Министерства образования и науки РФ № 2.1.1/3436, Федерального агентства по науке и инновациям России по контракту № 02.740.11.0238.

- Трифонов А.Ю., Шаповалов А.В. Одномерное уравнение Фишера-Колмогорова с нелокальной нелинейностью в квазиклассическом приближении // Известия вузов. Физика. — 2009. — Т. 52. — № 9. — С. 14—23.
- Борисов А.В., Резаев Р.О., Трифонов А.Ю., Шаповалов А.В. Численное моделирование одномерной популяционной динамики с нелокальным взаимодействием // Известия Томского политехнического университета. – 2009. – Т. 315. – № 2. – С. 24–28.
- 11. Зенкевич О. Метод конечных элементов в технике. М.: Мир,  $1975.-318~\mathrm{c}.$
- Цыганов М.А., Асланиди Г.В., Шахбазян В.Ю., Бекташев В.И., Иваницкий Г.Р. Нестационарная динамика бактериальных популяционных волн // Доклады РАН. – 2001. – Т. 380. – С. 828–833.
- Колобов А.В., Полежаев А.А. Направленный рост и инвазия опухоли в отсутствии хемотактической подвижности ее клеток // Математика. Компьютер. Образование: Сб. трудов XII Междунар. конф. Т. 3 / под ред. Г.Ю. Ризниченко. — М.-Ижевск: НИЦ «Регулярная и хаотическая динамика», 2005. — С. 979—989.

Поступила 30.12.2009 г.